

核言語KL1分散実行方式*

=ソフトウェアシミュレータによる評価=

6V-2

大原 有理¹ 鳥居 悟¹ 小野 越夫¹ 神田 陽治²
 富士通 職¹ 富士通国際研²

はじめに

第五世代コンピュータプロジェクトにおいて、核言語第一版(KL1)の中核をなす部分として、並列論理型言語GHC (Guarded Horn Clauses) (上田 85a) が採用されている。

我々は、このGHCを簡単化したFlatGHCを分散環境下で実行する分散処理系ソフトウェアシミュレータを(上田 85b)をもとに逐次計算機上に作成した。

本論文では、我々が作成したソフトウェアシミュレータについて述べ、このシミュレータを用いて行ったプラグマ(Shapiro 84)付FGHCプログラムのシミュレーション結果を示し、その結果をもとにプラグマによる分散方式の評価を行う。

1. 分散処理系ソフトウェアシミュレータ

KL1分散処理系ソフトウェアシミュレータにおいては、複数のプロセッサ(PE)の(擬似)並列実行と、各PE内のゴールの逐次実行の両方をシミュレートしなければならない。

PE内のゴールの逐次実行は、既に上田処理系(上田 85b)に実現されている。一方、PEの(擬似)並列実行のシミュレーションは、PEの逐次実行に他ならない。そこで我々は、上田処理系を二階建てにした方式を採用した。上田方式は、キューの先頭の要素を取り出して実行を行い、あるタイミングでその実行を中止し、キューの最後部にキューイングし直す、そして、次の要素を再び取り出して実行するものである。我々の方式は、上田方式を二階構造に拡張したものである。一段目はPEの実行を表し、二段目はその各PE内でのゴールの実行を表す。これを詳細に示したのが図1である。

このように、本ソフトウェアシミュレータは、上田方式におけるキューを二本管理しており、いくつかのサンプルプログラムにおいて、上田処理系と同等の実行性能を得ることができた。

2. シミュレーション

今回作成したソフトウェアシミュレータを用いて、本文の最後に示したQueenプログラムを対象に入力データが4~6Queen、RCが100と10のときの逐次実行とプラグマによる二種類の分散実行(分散方式①、②)とのシミュレーションを行った。ここでRCとは、PEのスイッチを行うタイミングを示すもので、RCが100とは、各PEで100回のゴールリダクションが行われると、PEのスイッチが行われることを表す。

また、入力データを固定し、設置PE台数を変えたシミュレーションを行った。

*本研究は、第五世代コンピュータプロジェクトの一環として行われたものである。

Distributed Execution of the KL1

= Evaluation with the Software Simulator =

1 Yuri OHARA, Satoru TORII, Etsuo ONO FUJITSU LIMITED

2 Youji KOHDA IIAS-SIS, FUJITSU LIMITED

図2、3は、それぞれRCが100と10のときの入力データの大きさとサイクル数の関係を表す。ここで分散方式①では、使用するPEが4台に固定される。それに対して分散方式②では、設置PE台数によって、使用するPE台数が変わる。また、サイクル数とは、実行が終わるまでのシステムキューの周回数を示す。

表1は、入力データを5Queen、RCを10、分散方式を②とし、設置PE台数を変えてシミュレーションを行ったときのサイクル数と使用PE台数を示したものである。

システムキュー

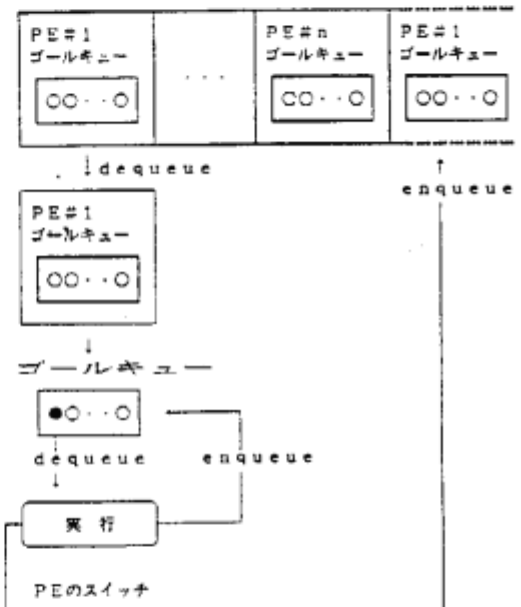


図1 ソフトウェアシミュレータの構成

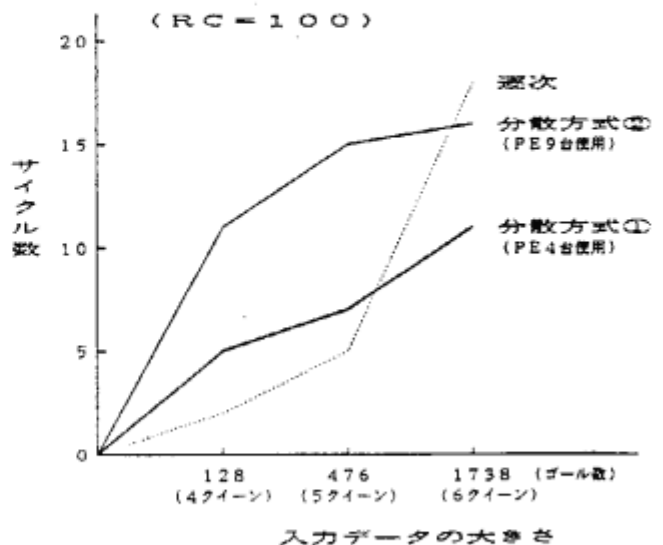


図2 入力データの大きさとサイクル数の関係

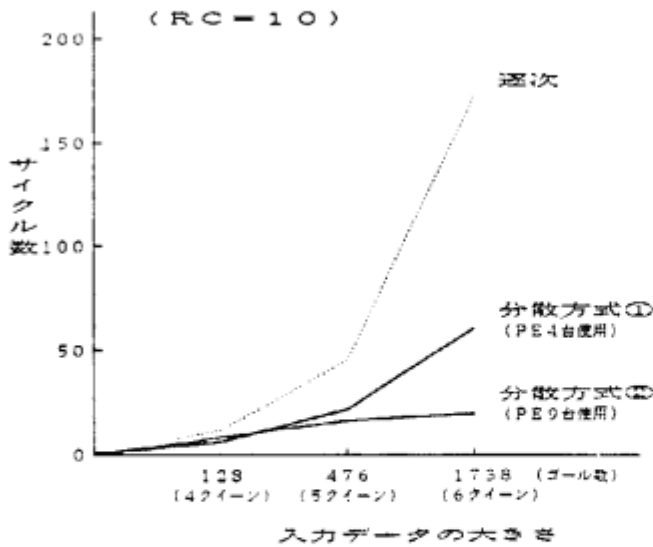


図3 入力データの大きさとサイクル数の関係

表1 設置PE台数を変えたシミュレーション結果

設置PE台数	4台	9台	16台	25台	100台
サイクル数	22	19	18	18	18
使用PE台数	4台	9台	16台	19台	24台

3. 入力データと分散効果

図2より、入力データが小さいときは、PE間通信のため、分散実行の方が逐次実行よりもサイクル数が多いが、入力データが大きくなると、逆転している。また、使用PE台数が4台に固定される分散方式①とPE台数が固定されない分散方式②とを比較すると、今回の結果では分散方式②の方がサイクル数が多いが、さらに入力データが大きくなると、分散方式①と②は逆転すると予想される。図3では、分散方式①、②ともに逐次実行よりサイクル数が少ない。また、使用PE台数が多い分散方式②の方が分散方式①よりもサイクル数が少ない。つまり、入力データが大きくなるに伴い分散の効果は顕著になり、さらに、多くのPEを使用した方が分散の効果は高められる。

4. RCと分散方式

RCを各PEの処理能力と考える。図2のRCが100の場合には、各PEの処理能力が高いので、PEを4台しか使わない分散方式①の方が分散の効果が高い。一方、図3のRCが10の場合には、PEを9台使用する分散方式②の方が各PEへの負荷集中が少ないので、分散の効果が高い。つまり、PEの処理能力によって、効果のある分散方式は異なる。

5. 設置PE台数と分散効果

表1より、設置PE台数を増やすと使用PE台数も増え、分散の効果は高まる。しかし、設置PE台数を16台以上に増やしてもそれ以上の効果はない。これは、Shapiro流のプラグマではPE台数の効果をうまく利用できない例である。

おわりに

今回、KL1分散処理ソフトウェアシミュレータを用いて、プラグマ付FGHCプログラムのシミュレーションを行い、分散方式についての評価を行った。

その結果、上田処理系を二段構造に拡張することによって、大きな例題による分散シミュレーションが可能になった。また、今回のシミュレーションでは、Shapiro流のプラグマによる分散実行の効果が認められた。しかし、PE台数の効果がうまく利用できないケースもあり、Shapiro流のプラグマが常に良い性能を引き出すわけではない。入力データの大きさやPEの処理能力によって、効果のある分散方式が異なる。これらの点を考慮して、より大きな入力データや多くのPE台数のもとで効果のあるプラグマ方式に改良していく必要がある。

参考文献

- (上田 85a) Ueda, K. "Guarded Horn Clauses" ICOT Technical Report TR-103.
- (上田 85b) Ueda, K. and Chikayama, T.: Concurrent Prolog Compiler on top of Prolog. In Proc. of Symp. on Logic Prolog., 1985, pp.119-126.
- (Shapiro 84) Shapiro, E.Y. SYSTEMIC PROGRAMMING in FGCS, 1984

サンプルプログラム

```

queen(A, I, Q) :- true | gen(A, A, I, nil, nil, nil, Q, nil).

gen(N, A, IL, IR, PR, PM, Q, QT) :- N=$=0, P1:=N+A, M1:=N-A |
  test(N, IL, IR, A, PR, P1, M1, PM, Q, QS),
  gen(N, IL, A, IR, PR, PM, QS, QT), %分散2
gen(N, nil, __, __, __, Q, QT) :- N=$=0 | Q=QT.
gen(0, __, __, R, __, Q, QT) :- true | Q=R, QT.

test(N, __, __, __, P, M, (P1, M1), PML, __, Q, QT) :-
  P1:=P | Q=QT.
test(N, __, __, __, P, M, (P1, M1), PML, __, Q, QT) :-
  M1:=M | Q=QT.
test(N, IL, IR, PR, P, M, (P1, M1), PML, PM, Q, QT) :-
  P1=$=P, M1=$=M | test(N, IL, IR, PR, P, M, PML, PM, Q, QT).
test(N, IL, IR, PR, P, M, nil, PM, Q, QT) :- N1:=N-1 |
  app(IL, IR, IN),
  gen(N1, IN, nil, PR, (P, M), PM, Q, QT), %分散1 分散2

app(A, X, Y, Z) :- true | Z=A.W, app(X, Y, W).
app(nil, Y, Z) :- true | Y=Z.

```

分散1は、分散方式①でプラグマを付加したゴールを示す。
分散2は、分散方式②でプラグマを付加したゴールを示す。